

1 Обзор литературы

1.1 Деградация

Одним из основных недостатков водород-воздушных топливных элементов на протон-обменных мембранах, который ограничивает их массовое внедрение является их малое время работы до необходимого обслуживания и ремонта [1]. Именно поэтому ресурс топливных элементов является одной из основных тем исследований [2], причём доля статей, посвящённых этой теме, с каждым годом только растёт, что видно на рисунке 1.

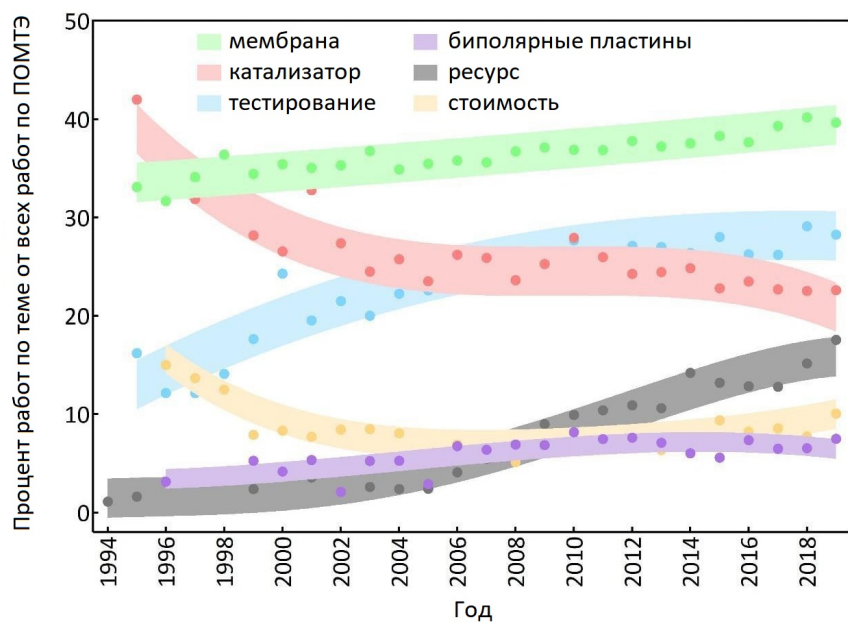


Рис. 1: На графике обозначено распределение по годам доли статей по темам от всех публикаций по теме ПОМТЭ

Любой блок топливных элементов состоит из множества комплектующих, каждый из которых имеет свой ресурс. При этом ограниченное время работы всего устройства обычно связано со снижением характеристик либо мембранны, либо катализитического слоя [3].

1.1.1 Мембрана

Процессы, которые приводят к нарушению функций мембранны можно разделить на две крупные категории [4]. Первая категория — это механическая и термическая деградация. К механической относят возникновение

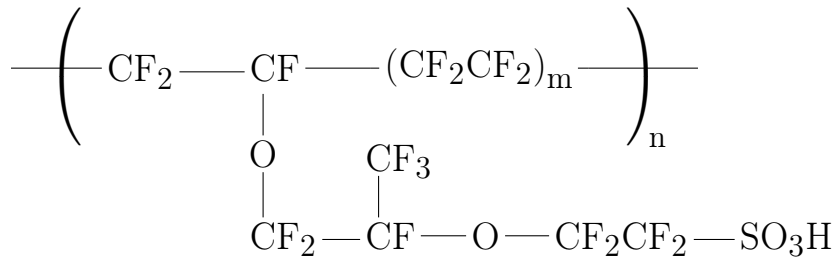


Схема 1: Основная химическая структура Nafion

надрывов, трещин и отверстий, а к термической — необратимое пересыхание и термолиз. Ко второй категории можно отнести химические и электрохимические механизмы. Наиболее важный процесс этой категории - это образование гидропероксильного или какого-либо другого свободного радикала, а также дальнейшее разложение мембраны при радикальной атаке. Важно отметить, что процессы двух категорий плотно связаны друг с другом. Так, например, химическое разложение мембраны может привести к образованию сквозных отверстий в ней, рост которых будет проходить вследствие механизмов первой категории.

1.1.2 Каталитический слой

В состав каталитического слоя, помимо других элементов, входит иономер, который по своим способам деградации во многом похожа на мембрану [5]. Однако катализатор подвержен и множеству других процессов, снижающих его работоспособность. Среди основных механизмов деградации можно назвать отравление, вымывание, оствальдовское созревание и миграцию частиц платины [6], однако помимо них важны и многие другие процессы [7]. Важно отметить, что отдельные аспекты этих механизмов неплохо изучены [8, 9], однако причину снижения характеристик топливного элемента в каждом конкретном случае удаётся понять далеко не всегда.

1.2 Способы изучения

Существует множество экспериментальных методов, позволяющих отслеживать изменения в мембранны-электродных блоках топливных элементов, происходящих вследствие деградации. Прежде всего это контроль снижения характеристик при проведении ускоренных стресс-тестов. Такой

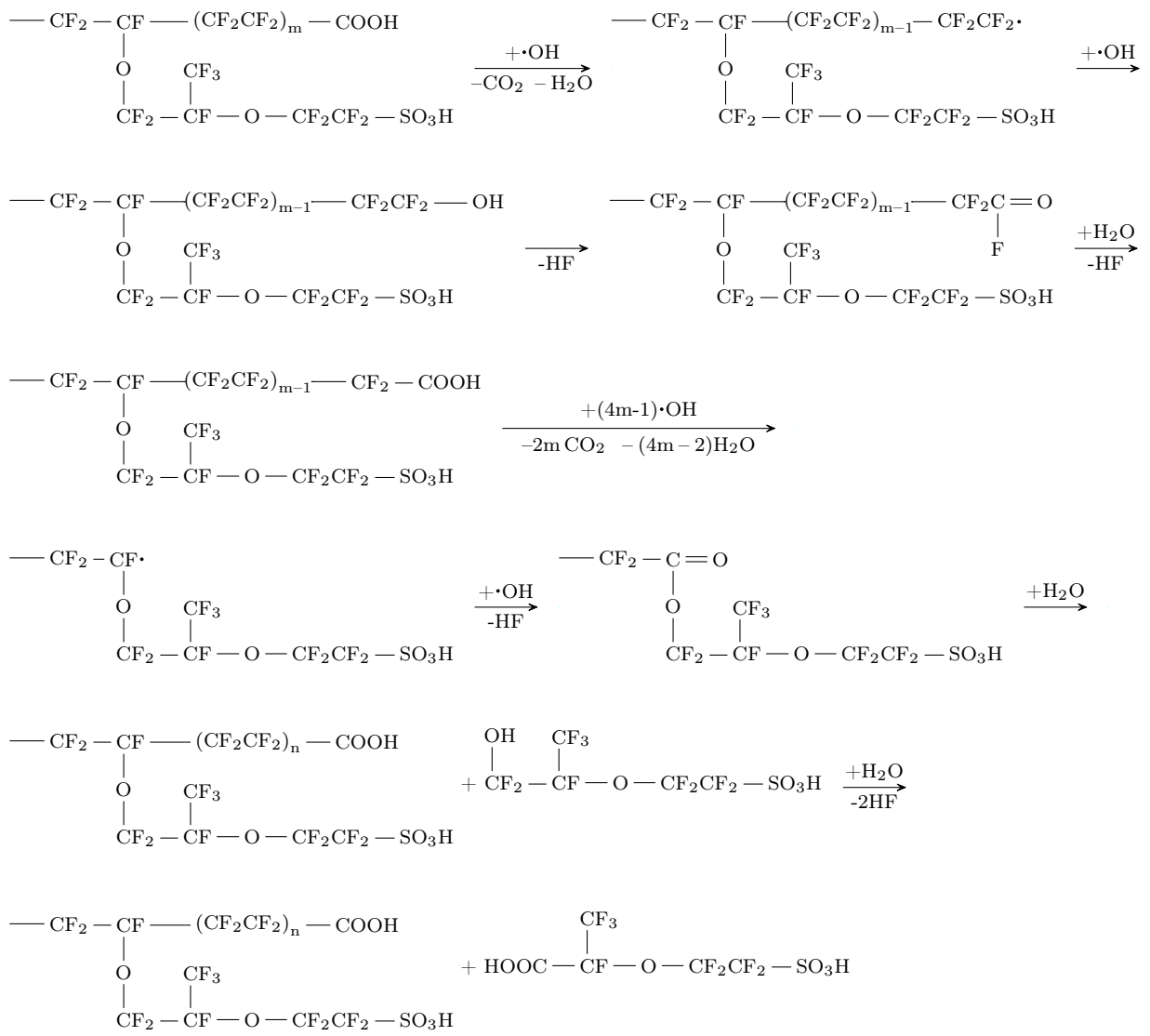


Схема 2: Процесс расцепления основной цепи

подход позволяет предсказывать ресурс, а так же отслеживать влияние различных изменений в материалах или способах изготовления топливного элемента. Впрочем, этот способ не лишён недостатков, важнейшим из которых является тот факт что далеко не всегда по снижению характеристик можно понять, какой именно процесс является лимитирующим. Таким образом, несмотря на возможность делать прогнозы о сроке службы, механизм деградации остаётся непонятным.

Описание причин падения характеристик почти невозможно без изучения мембранны-электродных блоков до и после ускоренных стресс-тестов. Для анализа изменений структуры применяются разнообразные техники, каждая из которых обладает рядом достоинств и недостатков. Так, например, использование оптических и сканирующих электронных микроскопов весьма популярно по причине простоты и доступности этих методов, однако ограничения в виде сравнительно низкого разрешения и возможности изучения только приповерхностных слоёв вынуждают искать другие подходы. Просвечивающая электронная микроскопия позволяет изучать образцы по всему объёму, однако резко ограничивает его максимальную толщину.

ТЭМ, ЯМР, рентген + EDX, атомный силовой, FESEM, термогравиметрия, FTIR

1.2.1 Синхротрон

Основной темой этой работы является использование дифракции рентгеновского синхротронного излучения, так как такой подход обладает целым рядом преимуществ. Данные о широкоугловом рентгеновском рассеянии позволяют с хорошей точностью смоделировать структуру платины в каталитическом слое, описав размер и кристалличность её частиц [10]. Малоугловое рассеяние может использоваться для получения информации об иономере и макроструктуре каталитического слоя, а так же о характеристиках мембранны [11]. Микро- иnano-фокусная дифракция позволяют исследовать распределение, например, размера частиц платины в каталитическом слое от расстояния от мембранны, получая более полную информацию о состоянии мембранны-электродного блока. Благодаря высокой яркости синхротронного источника есть возможность изучения топливного

элемента во время работы при использовании специальной ячейки [12], что недоступно для абсолютного большинства других методов изучения.

Значительная доля опубликованных на данный момент исследований мембранны-электродных блоков в рентгеновском диапазоне посвящены изучению распределения и транспорта воды, причём для исследований используются как лабораторные рентгеновские микроскопы [13, 14], так и синхротроны [15, 16]. Другая часть таких работ посвящена различным аспектам одного из важнейших процессов, обеспечивающих работу топливного элемента - окислению наночастиц платины. Темами различных исследований становились этапы окисления частиц на углеродной подложке [17], в различных типах электрохимических ячеек [10] и в составе МЭБ-ов [18]. Немаловажно выделить исследование неоднородности этого процесса по поверхности катализитического слоя и, как следствие, различной скорости деградации топливного элемента в разных его частях [19].

1.3 ТОТЭ

Гораздо большую популярность синхротроны снискали с другими топливными элементами — твёрдооксидными. Это легко объяснить гораздо более выраженной кристаллической структурой, изменения которой легко заметить с помощью рентгеновской дифракции. Это позволяет отслеживать напряжения кристаллической решетки [20], определять микроструктуру [21] и даже строить трёхмерные модели этого типа топливных элементов [22]. Также можно отметить некоторые работы, посвящённые изменениям в структуре ТОТЭ при длительной работе [23].

Список литературы

- [1] Nancy Garland, Thomas Benjamin и John Kopasz. «DOE Fuel Cell Program: Durability Technical Targets and Testing Protocols». В: *ECS Transactions* 11 (1 сент. 2007), с. 923—931. ISSN: 1938-5862. DOI: 10.1149/1.2781004. URL: <https://iopscience.iop.org/article/10.1149/1.2781004>.

- [2] Rony Escobar Yonoff и др. «Research trends in proton exchange membrane fuel cells during 2008–2018: A bibliometric analysis». B: *Heliyon* 5 (5 май 2019), e01724. ISSN: 24058440. DOI: 10 . 1016 / j . heliyon . 2019 . e01724. URL: <https://linkinghub.elsevier.com/retrieve/pii/S2405844018345407>.
- [3] T. Jahnke и др. «Performance and degradation of Proton Exchange Membrane Fuel Cells: State of the art in modeling from atomistic to system scale». B: *Journal of Power Sources* 304 (февр. 2016), с. 207—233. ISSN: 03787753. DOI: 10 . 1016 / j . jpowsour . 2015 . 11 . 041. URL: <https://linkinghub.elsevier.com/retrieve/pii/S0378775315305395>.
- [4] Amanda Collier и др. «Degradation of polymer electrolyte membranes». B: *International Journal of Hydrogen Energy* 31 (13 2006), с. 1838—1854. ISSN: 0360-3199. DOI: <https://doi.org/10.1016/j.ijhydene.2006.05.006>. URL: <https://www.sciencedirect.com/science/article/pii/S0360319906001674>.
- [5] Paul C. Okonkwo и др. «Nafion degradation mechanisms in proton exchange membrane fuel cell (PEMFC) system: A review». B: *International Journal of Hydrogen Energy* 46 (55 авг. 2021), с. 27956—27973. ISSN: 03603199. DOI: 10 . 1016 / j . ijhydene . 2021 . 06 . 032. URL: <https://linkinghub.elsevier.com/retrieve/pii/S0360319921021832>.
- [6] Paul C. Okonkwo и др. «Platinum degradation mechanisms in proton exchange membrane fuel cell (PEMFC) system: A review». B: *International Journal of Hydrogen Energy* 46 (29 апр. 2021), с. 15850—15865. ISSN: 03603199. DOI: 10 . 1016 / j . ijhydene . 2021 . 02 . 078. URL: <https://linkinghub.elsevier.com/retrieve/pii/S0360319921005814>.
- [7] Huu Linh Nguyen и др. «Review of the Durability of Polymer Electrolyte Membrane Fuel Cell in Long-Term Operation: Main Influencing Parameters and Testing Protocols». B: *Energies* 14 (13 июль 2021), с. 4048. ISSN: 1996-1073. DOI: 10 . 3390 / en14134048. URL: <https://www.mdpi.com/1996-1073/14/13/4048>.

- [8] Amanda C. Garcia, Valdecir A. Paganin и Edson A. Ticianelli. «CO tolerance of PdPt/C and PdPtRu/C anodes for PEMFC». B: *Electrochimica Acta* 53 (12 май 2008), c. 4309—4315. ISSN: 00134686. DOI: 10.1016/j.electacta.2008.01.006. URL: <https://linkinghub.elsevier.com/retrieve/pii/S0013468608000522>.
- [9] Martin Prokop, Monika Drakselova и Karel Bouzek. «Review of the experimental study and prediction of Pt-based catalyst degradation during PEM fuel cell operation». B: *Current Opinion in Electrochemistry* 20 (апр. 2020), c. 20—27. ISSN: 24519103. DOI: 10.1016/j.coelec.2020.01.016. URL: <https://linkinghub.elsevier.com/retrieve/pii/S2451910320300235>.
- [10] Kotaro Sasaki и др. «Synchrotron-Based in Situ Characterization of Carbon-Supported Platinum and Platinum Monolayer Electrocatalysts». B: *ACS Catalysis* 6 (1 янв. 2016), c. 69—76. ISSN: 21555435. DOI: 10.1021/ACSCATAL.5B01862/SUPPL_FILE/CS5B01862_SI_001.PDF. URL: <https://pubs.acs.org/doi/abs/10.1021/acscatal.5b01862>.
- [11] Klaus Schmidt-Rohr и Qiang Chen. «Parallel cylindrical water nanochannels in Nafion fuel-cell membranes». B: *Nature Materials* 7 (1 янв. 2008), c. 75—83. ISSN: 1476-1122. DOI: 10.1038/nmat2074. URL: <http://www.nature.com/articles/nmat2074>.
- [12] Isaac Martens и др. «X-ray transparent proton-exchange membrane fuel cell design for in situ wide and small angle scattering tomography». B: *Journal of Power Sources* 437 (окт. 2019), c. 226906. ISSN: 03787753. DOI: 10.1016/j.jpowsour.2019.226906. URL: <https://linkinghub.elsevier.com/retrieve/pii/S0378775319308997>.
- [13] J. Lee, J. Hinebaugh и A. Bazylak. «Synchrotron X-ray radiographic investigations of liquid water transport behavior in a PEMFC with MPL-coated GDLs». B: *Journal of Power Sources* 227 (апр. 2013), c. 123—130. ISSN: 03787753. DOI: 10.1016/j.jpowsour.2012.11.006. URL: <https://linkinghub.elsevier.com/retrieve/pii/S0378775312016795>.
- [14] Jens Eller и др. «Implications of polymer electrolyte fuel cell exposure to synchrotron radiation on gas diffusion layer water distribution». B: *Journal of Power Sources* 245 (янв. 2014), c. 796—800. ISSN: 03787753.

DOI: 10.1016/j.jpow sour.2013.07.025. URL: <https://linkinghub.elsevier.com/retrieve/pii/S0378775313012056>.

- [15] Takashi Sasabe и др. «Soft X-ray visualization of the liquid water transport within the cracks of micro porous layer in PEMFC». B: *Electrochemistry Communications* 13 (6 июнь 2011), c. 638—641. ISSN: 13882481. DOI: 10.1016/j.elecom.2011.03.033. URL: <https://linkinghub.elsevier.com/retrieve/pii/S1388248111001342>.
- [16] Phengxay Deevanhxay и др. «Investigation of water accumulation and discharge behaviors with variation of current density in PEMFC by high-resolution soft X-ray radiography». B: *International Journal of Hydrogen Energy* 36 (17 авг. 2011), c. 10901—10907. ISSN: 03603199. DOI: 10.1016/j.ijhydene.2011.05.160. URL: <https://linkinghub.elsevier.com/retrieve/pii/S0360319911014091>.
- [17] Hideto Imai и др. «In situ and real-time monitoring of oxide growth in a few monolayers at surfaces of platinum nanoparticles in aqueous media». B: *Journal of the American Chemical Society* 131 (17 май 2009), c. 6293—6300. ISSN: 00027863. DOI: 10.1021/JA810036H/SUPPL_FILE/JA810036H_SI_001.PDF. URL: <https://pubs.acs.org/doi/abs/10.1021/ja810036h>.
- [18] Isaac Martens и др. «Probing the Dynamics of Platinum Surface Oxides in Fuel Cell Catalyst Layers Using in Situ X-ray Diffraction». B: *ACS Applied Energy Materials* 2 (11 нояб. 2019), c. 7772—7780. ISSN: 25740962. DOI: 10.1021/ACSAEM.9B00982/SUPPL_FILE/AE9B00982_SI_001.PDF. URL: <https://pubs.acs.org/doi/abs/10.1021/acsaem.9b00982>.
- [19] Isaac Martens и др. «Imaging Heterogeneous Electrocatalyst Stability and Decoupling Degradation Mechanisms in Operating Hydrogen Fuel Cells». B: *ACS Energy Letters* 6 (8 авг. 2021), c. 2742—2749. ISSN: 23808195. DOI: 10.1021/ACSENERGYLETT.1C00718/SUPPL_FILE/NZ1C00718_SI_001.PDF. URL: <https://pubs.acs.org/doi/abs/10.1021/acsenergylett.1c00718>.

- [20] Julie Villanova и др. «Determination of global and local residual stresses in SOFC by X-ray diffraction». B: *Nuclear Instruments and Methods in Physics Research Section B: Beam Interactions with Materials and Atoms* 268 (3-4 февр. 2010), c. 282—286. ISSN: 0168583X. DOI: 10.1016/j.nimb.2009.09.017. URL: <https://linkinghub.elsevier.com/retrieve/pii/S0168583X09009847>.
- [21] P. R. Shearing и др. «Using Synchrotron X-Ray Nano-CT to Characterize SOFC Electrode Microstructures in Three-Dimensions at Operating Temperature». B: *Electrochemical and Solid-State Letters* 14 (10 авг. 2011), B117. ISSN: 10990062. DOI: 10.1149/1.3615824. URL: <https://iopscience.iop.org/article/10.1149/1.3615824>.
- [22] John R. Izzo и др. «Nondestructive Reconstruction and Analysis of SOFC Anodes Using X-ray Computed Tomography at Sub-50 nm Resolution». B: *Journal of The Electrochemical Society* 155 (5 март 2008), B504. ISSN: 00134651. DOI: 10.1149/1.2895067. URL: <https://iopscience.iop.org/article/10.1149/1.2895067>.
- [23] Julie Villanova и др. «X-ray fluorescence nano-imaging of long-term operated solid oxide electrolysis cells». B: *Journal of Power Sources* 421 (май 2019), c. 100—108. ISSN: 0378-7753. DOI: 10.1016/J.JPOWSOUR.2019.02.084.